

بررسی تاثیر عملیات زیر صفر عمیق بر ریز ساختار و مقاومت سایش فولاد کم آلیاژ 100Cr6

حسین پایدار^{*}^۱، کامران امینی^۲، امین اخباری زاده^۳، مهدی نجفیان^۴

۱- استادیار، دانشگاه آزاد اسلامی، واحد شهر مجلسی، اصفهان، ایران

۲- استادیار، دانشگاه آزاد اسلامی، واحد تهران، تهران، ایران

۳- استادیار، دانشگاه آزاد اسلامی، واحد شیراز، شیراز، ایران

۴- مریم، دانشگاه آزاد اسلامی، واحد شهر مجلسی، اصفهان، ایران

* hpaidar47@gmail.com

(تاریخ دریافت: ۱۵/۰۷/۹۱، تاریخ پذیرش: ۲۳/۰۱/۹۲)

چکیده

عملیات زیر صفر عمیق به عنوان یک عملیات تکمیلی که بلا فاصله بعد از کوئنچ و قبل از تمپر بر روی قطعات انجام می‌پذیرد و باعث بهبود سختی و مقاومت سایشی می‌گردد، در سال‌های اخیر مورد توجه محققین قرار گرفته است. در تحقیق حاضر نمونه‌هایی از جنس فولاد 100Cr6 در دو دمای ۹۲۰ و ۸۵۰ درجه سانتی‌گراد و زمان‌های ۲۰ و ۸۰ دقیقه، آستنتیه و سپس نمونه‌ها در روغن کوئنچ گردیدند، سپس بعضی از نمونه‌ها تحت عملیات زیر صفر عمیق در ۱۹۶-درجه سانتی‌گراد به مدت ۲۴ ساعت قرار گرفتند. با انجام آزمون‌های پراش پرتو ایکس، بررسی بوسیله میکروسکوپ الکترونی رویشی و اندازه‌گیری سختی و مقاومت سایشی، تاثیر عملیات زیر صفر بر سختی، ساختار و مقاومت سایشی این فولاد مشخص گردید. نتایج نشان داد با انجام عملیات زیر صفر، سختی و مقاومت سایشی به دلیل حذف آستنتیت باقی مانده و رسوب کاربیدهای ریز، بهبود می‌یابد. هم‌چنین بالاترین سختی و مقاومت سایشی مربوط به نمونه‌هایی است که در دمای ۹۲۰ درجه سانتی‌گراد به مدت ۲۰ دقیقه آستنتیه شده‌اند. مکانیزم سایش نمونه‌ها، خراشان و تربیو شیمیابی است.

واژه‌های کلیدی:

فولاد 100Cr6، عملیات زیر صفر عمیق، سایش، سختی

۱- مقدمه

می‌رود. عملیات زیر صفر به دو دسته کلی عملیات حرارتی زیر صفر سطحی (SCT)^۱ و زیر صفر عمیق (DCT)^۲ تقسیم بندی می‌شود [۱-۳]. الف- زیر صفر سطحی: در این عملیات قطعه تا محدوده دمایی 50°C -تا 100°C - و به منظور کاهش و یا حذف آستنتیت باقی مانده و با نرخ سرد کردن پایین سرد می‌شود. هدف

عملیات زیر صفر عبارت است از سرد کردن قطعه تا دماهای پایین به منظور تغییر فاز آستنتیت به عنوان فاز نرم به مارتنتیت به عنوان فاز سخت که در فولادها به کار گرفته می‌شود. این عملیات به عنوان یک عملیات دائمی که کل قطعه را شامل می‌شود در پایان عملیات حرارتی مرسوم و پیش از تمپر به کار

می شود. بدلیل این موضوع تعداد بسیار زیادی عیوب شامل نابجایی ها و دو قلوها در داخل مارتنتیت و در مرز آستیت- مارتنتیت تولید می شوند. در اثر کاهش دما و انقباض شبکه مارتنتیتی، مارتنتیت به شکل کاملاً فوق اشباع از اتم های کربن درمی آید. در این شرایط یکا یاخته^۳ مارتنتیتی چار اعوجاج شده و ساختار مارتنتیتی ناپایدارتر می شود. در نتیجه این پدیده، اتم های کربن از ساختار مارتنتیت جدا شده و به عیوب کاری مهاجرت می کنند. این اتم ها در عملیات تمپر به عنوان محل های جوانه زنی کاریبید عمل کرده و در نهایت پس از تمپر درصد کاریبیدهای ایجاد شده در ماده را افزایش می دهند [۲۰-۱۵, ۹, ۷, ۳]. با افزایش زمان نگهداری در دمای زیر صفر، اتم های بیشتری مهاجرت می کنند و در نتیجه کاریبیدهای تولید شده نیز بزرگ تر خواهند بود. به همین دلیل داس^۴ نشان داد که حد بهینه ای وجود دارد که پس از آن کاریبیدها یکنواختی خود را از دست می دهند و کاریبیدهای ریز و پراکنده جایگزین کاریبیدهای درشت و موضعی خواهند شد [۱۸ و ۲۰]. تاکنون تحقیقات زیادی بر روی عملیات زیر صفر و مکانیزم های آن صورت نگرفته است.

به همین دلیل و به دلیل تازگی این نوع از عملیات حرارتی تکمیلی در صنایع و همچنین کاربردهای صنعتی این نوع عملیات حرارتی توجه به انجام تحقیقات متعدد در این موضوع ضروری به نظر می رسد.

فولاد کم آلیاژ 100Cr6 (AISI 52100) از دسته فولادهای کم آلیاژ می باشد که در ساخت یاطاقان های مورد استفاده در اجزای متحرک ماشین ها کاربرد فراوانی دارد. هدف از انجام این تحقیق بررسی فاکتورهای موثر بر عملیات حرارتی و عملیات زیر صفر عمیق بر روی فولاد کم آلیاژ 100Cr6 (AISI 52100) می باشد. برای این منظور دو دمای آستینیتی متفاوت 920°C و 850°C انتخاب شده و نمونه ها برای زمان های متفاوت 20 و 80 دقیقه آستینیتی می گردند. به منظور بررسی عملیات زیر صفر عمیق این نمونه ها تا دمای نیتروژن مایع خنک شده و تحت عملیات زیر صفر عمیق قرار می گیرند. در نهایت اثر هر یک از عوامل بالا

از انجام این فرآیند بهبود سختی سطحی و پایداری حرارتی می باشد.

ب- زیر صفر عمیق: در این عملیات قطعه با نرخ سرد کردن پایین برای جلوگیری از تولید ترک های ریز تا دمای 125°C و پایین تر سرد می شود. در زیر صفر عمیق دو عامل به شکل هم زمان بر روی مقاومت سایشی ماده تأثیر می گذارد.

۱- توزیع بهتر کاربیدها.

۲- از بین رفن آستینیت باقی مانده [۲-۴, ۸].

در عملیات حرارتی فولادهای ابزار مشکل وجود آستینیت باقی مانده پس از عملیات حرارتی غیرغم پیشرفت های زیاد در این نوع فولادها همچنان باقی مانده است. آستینیت فازی نرم و در دمای پایین ناپایدار است و امکان تبدیل آن به مارتنتیت در شرایط خاصی مانند انجام عملیات مکانیکی بر روی قطعه امکان پذیر است. این مارتنتیت تازه تولید شده بسیار ترد است و بر عکس مارتنتیت باز پخت شده در عملیات حرارتی فولادها فازی پذیرفته شده نمی باشد. از سویی این تغییر فاز باعث افزایش حجمی برابر با 4% می شود که باعث اعوجاجی نسبتاً چشمگیر در قطعه می شود [۱, ۹]. به همین دلیل قبل از به کار گیری قطعات بهتر است درصد آستینیت باقی مانده به کمترین میزان خود برسد. در عملیات زیر صفر عمیق علاوه بر کاهش درصد آستینیت باقی مانده، درصد کاریبیدهای آلیاژی نیز افزایش می یابد. علت افزایش درصد کاریبیدها در عملیات زیر صفر به دلیل افزایش درصد عیوب شبکه در حین سرد کردن می باشد. با توجه به تفاوت ضریب انبساط حرارتی اجزاء مختلف در نمونه و تولید مارتنتیت در اثر سرد شدن، عیوب شبکه ای مثل نابجایی ها تولید می شوند که محل بسیار مناسبی برای جذب اتم های کربن و سایر عناصر آلیاژی می باشند. در اثر این جذب و افزایش اشباع بودن مارتنتیت در اثر کاهش دما، محل های اشباع از عناصر آلیاژی و کربن تولید می شوند که در تمپر و یا گرم کردن می توانند به کاربید تبدیل شوند [۱, ۲, ۴]. یک تنش داخلی بسیار شدید در داخل ماده به دلیل استحاله آستینیت به مارتنتیت و ضریب انقباض متفاوت آستینیت و مارتنتیت تولید

دماهای 920°C و 850°C آستینیته شده و سپس در محیط روغن کوئنچ شدند. به منظور بررسی تاثیر عملیات زیرصفر عمیق از دماهای 196°C - استفاده شد. در عملیات زیرصفر عمیق، نمونه‌ها با نرخ سرد شدن $15-20^{\circ}\text{C}/\text{h}$ تا دماهای 196°C - سرد شده و در این محیط عملیات زیرصفر عمیق بر روی آن انجام شد. به منظور عملیات حرارتی زیرصفر عمیق نمونه‌ها به مدت ۲۴ ساعت در این دما نگهداری شده و سپس به آهستگی تا دماهای اتفاق گرم شدند. نمونه‌ها پس از گرم شدن تا دماهای محیط به مدت ۱ ساعت در دماهای 210°C تمپر شدند. عملیات حرارتی نمونه‌ها و علامت اختصاری آن عملیات در جدول (۲) آورده شده است.

بر روی ریزساختار، سختی و مقاومت سایشی نمونه‌ها مورد بررسی قرار خواهد گرفت.

۲- مواد و روش تحقیق

۲-۱- نمونه سازی

در این تحقیق یک میله به قطر 20 میلی‌متر از فولاد کم آلیاژ AISI 52100(100Cr6) با ترکیب اشاره شده در جدول (۱) به دیسک‌هایی با ضخامت 5 میلی‌متر برش زده شد.

جدول (۱): ترکیب شیمیایی فولاد کم آلیاژ AISI 52100 (درصد وزنی)

%C	%Si	%Mn	%Cr	%Mo
.۱	.۲	.۴۵	.۱۴	.۱

برای عملیات حرارتی، نمونه‌ها به مدت 20 و 80 دقیقه در

جدول (۲): عملیات حرارتی نمونه‌ها

شماره نمونه	عملیات حرارتی	علامت اختصاری
۱	آستینیته در دماهای 920°C به مدت 20 دقیقه در کوره با اتمسفر گاز آرگون-کوئنچ روغن-تمپر 210°C به مدت یک ساعت.	CHT920-20
۲	آستینیته در دماهای 920°C به مدت 80 دقیقه در کوره با اتمسفر گاز آرگون-کوئنچ روغن-تمپر 210°C به مدت یک ساعت.	CHT920-80
۳	آستینیته در دماهای 850°C به مدت 20 دقیقه در کوره با اتمسفر گاز آرگون-کوئنچ روغن-تمپر 210°C به مدت یک ساعت.	CHT850-20
۴	آستینیته در دماهای 850°C به مدت 80 دقیقه در کوره با اتمسفر گاز آرگون-کوئنچ روغن-تمپر 210°C به مدت یک ساعت.	CHT850-80
۵	آستینیته در دماهای 920°C به مدت 20 دقیقه در کوره با اتمسفر گاز آرگون-کوئنچ روغن-عملیات سرد کاری در دماهای 185°C -به مدت 24 ساعت-تمپر 210°C به مدت یک ساعت.	DCT920-20
۶	آستینیته در دماهای 920°C به مدت 80 دقیقه در کوره با اتمسفر گاز آرگون-کوئنچ روغن-عملیات سرد کاری در دماهای 185°C -به مدت 24 ساعت-تمپر 210°C به مدت یک ساعت.	DCT920-80
۷	آستینیته در دماهای 850°C به مدت 20 دقیقه در کوره با اتمسفر گاز آرگون-کوئنچ روغن-عملیات سرد کاری در دماهای 185°C -به مدت 24 ساعت-تمپر 210°C به مدت یک ساعت.	DCT850-20
۸	آستینیته در دماهای 850°C به مدت 80 دقیقه در کوره با اتمسفر گاز آرگون-کوئنچ روغن-عملیات سرد کاری در دماهای 185°C -به مدت 24 ساعت-تمپر 210°C به مدت یک ساعت.	DCT850-80

نمودارهای سطحی و دقت در محاسبه سختی تا سمباده 600 اکسیدهای سطحی و سمباده زده شدند. پس از تمپر، مجدداً نمونه‌ها برای یکنواختی سطح در آزمون سایش و حذف ناهمگونی‌های ایجاد شده برای

نمودارهای سطحی و دقت در محاسبه سختی تا سمباده 600 اکسیدهای سطحی و سمباده زده شدند. پس از تمپر، مجدداً نمونه‌ها برای یکنواختی سطح در آزمون سایش و حذف ناهمگونی‌های ایجاد شده برای

۲۲۰ نیوتن و در سرعت‌های m/s ۰/۰۵، ۱/۰ و ۰/۲۰ انجام شد. در مراحل آزمایش، کاهش وزن نمونه توسط ترازوی دیجیتال و با دقت ده هزارم گرم محاسبه شد. آزمون سایش در مسافت ۱۰۰۰ متر، در رطوبت هوای $5 \pm 3\%$ و دمای $5 \pm 25^{\circ}C$ انجام شد.

در آزمون سایش نمودار کاهش وزن بر حسب مسافت و نرخ سایش بر حسب مسافت رسم شد. همچنین نرخ سایش با استفاده از رابطه (۱) محاسبه گردید:

$$W_r = \Delta m / (\rho \times l \times F) \times 10^3 \quad (1)$$

در این معادله W_r نرخ سایش بر حسب Δm , mm^3/Nm کاهاش وزن بر حسب میلی گرم، p چگالی فولاد بر حسب $1 gr/cm^3$ مسافت طی شده بر حسب متر، F نیروی اعمال شده بر حسب نیوتون و ضریب $^{10} \alpha$ ایرای تبدیل واحد است.

٣- نتایج و بحث

۱-۳ ساختار بررسی

نتایج حاصل از تفرق پرتو X نشان می‌دهد در اثر سرد کردن نمونه‌ها تا دمای نیتروژن مایع، آستینیت باقی‌مانده کاملاً حذف می‌گردد (شکل ۱). در اثر سرد کردن نمونه‌ها تا دمای کمتر از دمای پایان استحاله مارتنتزیتی (M_f)، آستینیت باقی‌مانده به مارتنتزیت تبدیل می‌شود. علاوه بر آستینیت و مارتنتزیت، نمودار حاصل از XRD وجود درصد قابل توجهی از کاربید کرم را نیز نشان می‌دهد. آزمون XRD نشان می‌دهد که با افزایش زمان آستینیته کردن در دمای 920°C از ۲۰ دقیقه به ۸۰ دقیقه، درصد آستینیت باقی‌مانده در نمونه‌های کوئنچ-تمپر شده افزایش یافته و از ۵٪ در CHT20 به ۸٪ در نمونه CHT80 افزایش می‌یابد. دلیل این افزایش حل شدن کاربیدهای اولیه در ساختار با افزایش زمان آستینیته و ایجاد محلول جامد کربن و آهن می‌باشد که منجر به کاهش دمای شروع و پایان مارتنتزیت (M_s و M_f) می‌گردد (شکل ۱).

آزمون کشش تا سمباده ۱۰۰۰، سایش داده شده و سپس تحت آزمون قرار گرفتند.

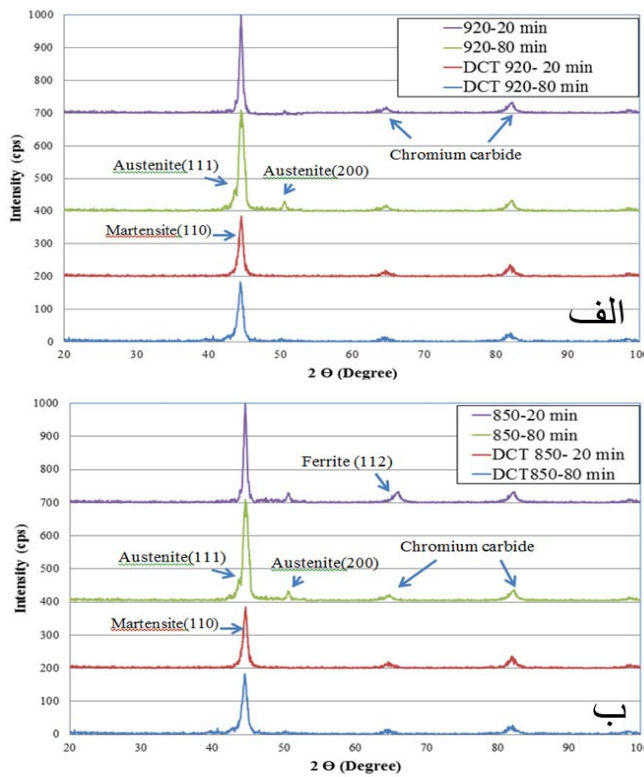
۲-۲ ساختار ریز پردازی

برای تعیین فازها و درصد آنها از روش تفرق اشعه X با تابش CuK α استفاده شد. بدین منظور نمونه‌ها در ابعاد مناسب تهیه و با استفاده از نرم افزار دستگاه XRD، فازهای موجود با استفاده از عناصر اولیه تعیین شد. در مرحله بعد، با توجه به وجود سه فاز آستانیت باقی مانده، مارتنتزیت و کاربید کرم و مشخص بودن درصد کاربید کرم محاسبه شد.

متالوگرافی نمونه‌ها با استفاده از روش‌های متداول سمیاده زنی و پولیش با امولسیون دستگاه حاوی آلومینای μm ۰/۵ انجام گرفت. برای اج کردن نمونه‌ها و مشاهده ذرات کاربید از محلول NaOH ۱۰ میلی لیتر H_2O_2 ، ۱۰ گرم $\text{K}_3\text{Fe}(\text{CN})_6$ و ۱۰ گرم NaOH استفاده شد. برای مشاهده ذرات کاربید پس از چندین بار پولیش و اچ، نمونه به زیر میکروسکوپ نوری و میکروسکوپ الکترونی رو بشی (SEM) برده شد. درصد کاربید کرم با استفاده از تصاویر حاصل از میکروسکوپ الکترونی رو بشی و میکروسکوپ نوری پس از پولیش محاسبه شد. بدین شکل که تصاویر توسط نرم افزار آنالیز تصاویر ۳.۵ LEMEX مورد بررسی قرار گفته و درصد فاز کاربید با کمک نرم افزار تعیین گردید.

۳-۲ سختی و سایش

سختی نمونه‌ها با استفاده از روش ویکرز و مطابق استاندارد ASTM E384 و ASTM E92 با استفاده از دستگاه میکرو سختی سنج ساخت شرکت کوپا، با نیروی 50 kg و با زمان نگهداری ۲۰ ثانیه انجام گردید. این کار پس از سنباده زنی نمونه‌ها بعد از عملیات کوئینج و بعد از عملیات تمپر، در نمونه‌های سایش و در وسط نمونه به شکلی که در آزمون سایش تداخلی ایجاد نشود، انجام گردید. هم‌چنین آزمون سایش با استفاده از دستگاه سایش و به روش پین روی دیسک، با پین فولاد بلبرینگ و سختی HRC ۶۴ و دیسک متحرک در نیروی

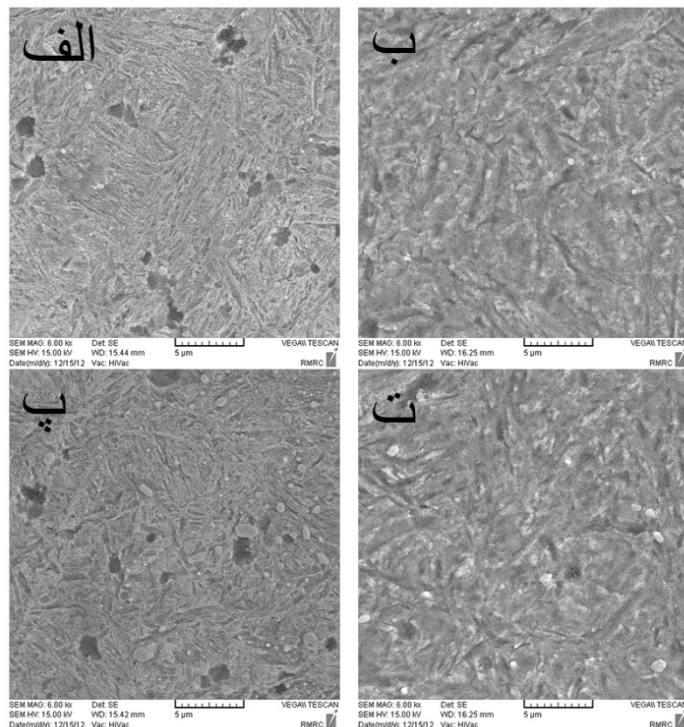


شکل (۱): نمودار تفرق اشعه X (XRD) نمونه فولادی با و بدون عملیات زیر صفر عمیق؛ (الف) آستینیت شده در دمای 920°C و (ب) آستینیت شده در دمای 850°C .

یکنواخت‌تر آن‌ها گردید (شکل ۲). در طول عملیات زیر صفر یک تنش داخلی بسیار شدید در داخل ماده به دلیل استحاله آستینیت به مارتزیت و ضریب انقباض متفاوت آستینیت و مارتزیت تولید می‌شود. به دلیل این موضوع، تعداد بسیار زیادی عیوب شامل نابجایی‌ها و دو قلویی‌ها در داخل مارتزیت و در مرز آستینیت–مارتزیت تولید می‌شوند. در اثر کاهش دما و انقباض شبکه مارتزیتی، مارتزیت به شکل کاملاً فوق اشباع از اتم‌های کربن درمی‌آید. در این شرایط یکا یاخته مارتزیتی دچار اعوجاج شده و ساختار مارتزیتی ناپایدارتر می‌شود. در نتیجه این پدیده، اتم‌های کربن از ساختار مارتزیت جدا شده و به عیوب کناری مهاجرت می‌کنند. این اتم‌ها در عملیات تمپر به عنوان محل‌های جوانه زنی کاربید عمل کرده و در نهایت پس از تمپر درصد کاربیدهای ایجاد شده در ماده را افزایش می‌دهند [۱, ۲, ۴, ۸-۶, ۱۳, ۱۵, ۲۰, ۲۲-۲۳].

در نمونه‌هایی که در دمای 850°C به مدت ۲۰ دقیقه نگهداری شده‌اند رفتار متفاوت‌تری مشاهده گردید، در زمان ۸۰ دقیقه ساختار کاملاً آستینیتی شده و در اثر سرکردن مارتزیت تولید می‌شود. در این حالت میزان آستینیت باقی‌مانده کمتر از دمای 920°C بوده و به ۷٪ کاهش می‌یابد. دلیل این کاهش در درصد آستینیت باقی‌مانده، مقدار کمتر کربن حل شده در ساختار است که باعث افزایش دمای شروع و پایان مارتزیت (M_s و M_f) و به تبع آن کاهش مقدار آستینیت باقی‌مانده می‌گردد. وقتی نمونه به مدت ۲۰ دقیقه در دمای 850°C آستینیتی می‌شود، ساختار فرصت کامل برای تبدیل شدن به آستینیت را نمی‌یابد. به همین دلیل در ساختار آن مقداری فریت یا پرلیت نیز در کنار مارتزیت مشاهده می‌گردد که باقی‌مانده از قبل از عملیات حرارتی است.

در شکل (۲) تاثیر عملیات زیر صفر عمیق بر افزایش درصد کاربیدهای نشان داده شده است. در دمای 920°C عملیات زیر صفر عمیق باعث افزایش درصد کاربیدهای پراکنده‌گی بسیار



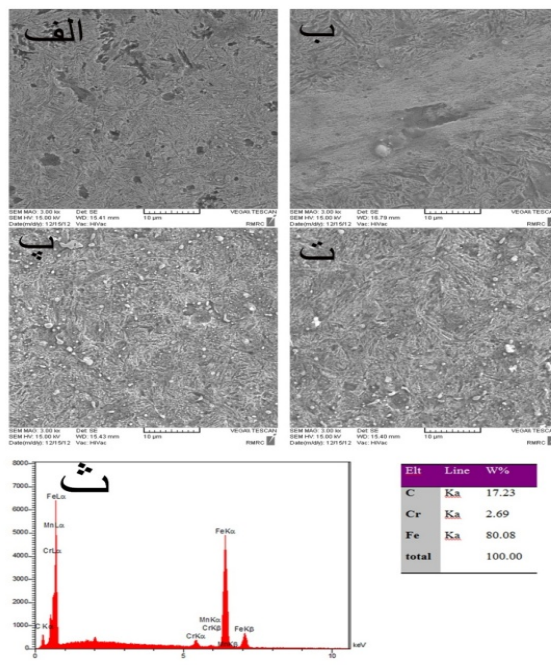
شکل (۲): تصویر میکروسکوپ الکترونی روبشی از توزیع کاربید کرم در نمونه ۹۲۰ °C (الف) نمونه CHT80 و (ب) نمونه CHT20. (پ) نمونه DCT80 و (ت) نمونه DCT20.

عملیات زیر صفر عمیق باعث افزایش درصد کاربیدها و پراکندگی یکنواخت‌تر آن‌ها می‌گردد. دلیل این پدیده در حالت زیر صفر عمیق، مانند دمای ۹۲۰ °C ایجاد یک ساختار فوق اشباع در درون ماده است که به پرش اتم‌های کربن کمک می‌کند. با افزایش زمان آستینیته کردن، کاربیدهای بیشتری حل شده و در نتیجه درصد کلی کاربیدها کاهش یافه و از همگن بودن ساختار آن‌ها کاسته می‌شود (شکل ۳). در زمان‌های کوتاه آستینیته کردن، با توجه به دمای کم آستینیته و زمان کم، امکان همگن سازی کامل در ساختار وجود نداشته و در نتیجه مقداری فریت در ساختار نهایی باقی می‌ماند. این فریت در نمودارهای XRD مشخص شده است (شکل ۱). برای دقت بیشتر در تعیین نوع رسوبات از رسوب مشاهده شده در SEM با کمک EDX آنالیز ترکیب شیمیایی صورت گرفت و مشخص شد که رسوب حاصل کاربید کرم می‌باشد (شکل ۳).

با افزایش زمان نگهداری نمونه‌ها در دمای ۹۲۰ °C درصد کاربیدها کاهش یافته و از میزان همگن بودن آن‌ها کاسته می‌شود (شکل ۲ و جدول ۳). دلیل این کاهش، حل شدن کاربیدهای اولیه در ساختار و ایجاد محلول جامد کربن و آهن می‌باشد. در اثر این انحلال، سختی پذیری ساختار به دلیل کاهش دمای شروع و پایان مارتنتیت (Ms و Mf) به شدت کاهش می‌یابد. به دلیل کاهش سختی پذیری فولاد و درصد بالاتر آستینیت باقی مانده در این نمونه‌ها، اعوجاج کمتری در شبکه تولید می‌شود و در نتیجه درصد کاربید تولیدی در حین عملیات زیر صفر عمیق کاهش می‌یابد [۱ و ۴]. این پدیده و انحلال کاربیدهای بیشتر در زمان‌های طولانی‌تر نگهداری در دمای آستینیته باعث کاهش درصد کاربیدهای تولیدی در زمان‌های طولانی‌تر نگهداری نمونه در دمای آستینیته کردن می‌شود (شکل ۲). در نمونه‌هایی که در دمای ۸۵۰ °C آستینیته شده‌اند،

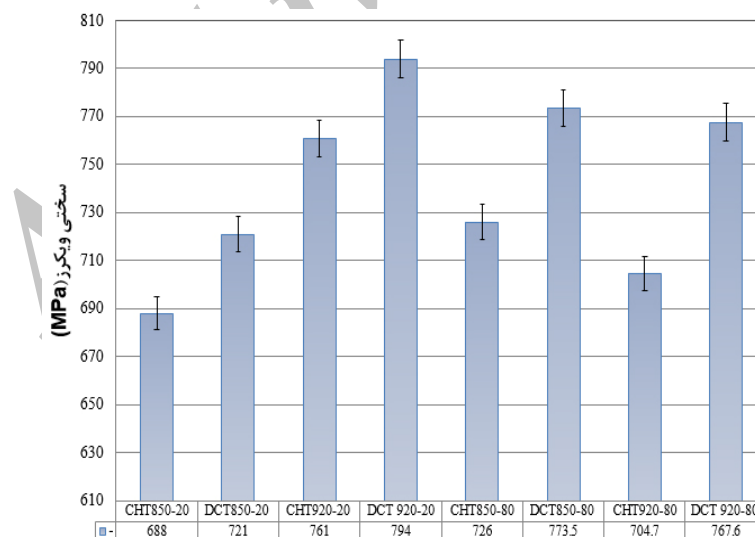
جدول (۳): درصد کاربید در نمونه‌های آستینیته شده در دمای ۹۲۰ °C

درصد کاربید	نمونه
۶	CHT20
۴	CHT80
۲۱	DCT20
۱۸	DCT80

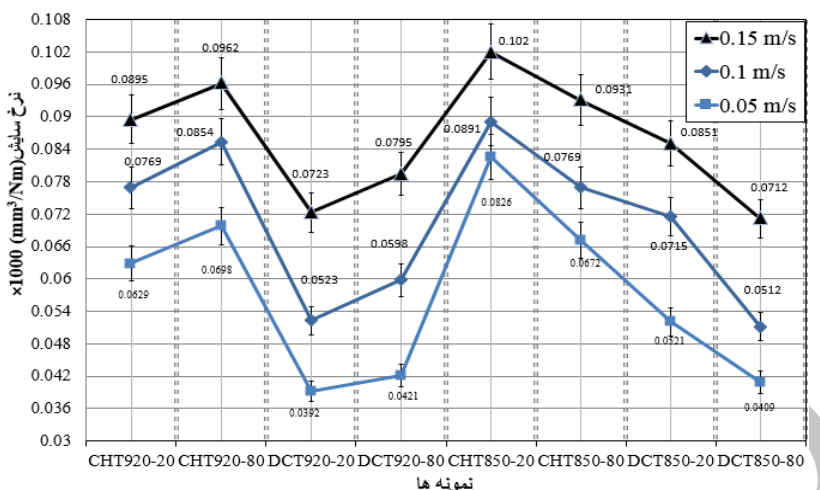


نتایج حاصل از آزمون سختی نشان می‌دهد که در اثر عملیات زیر صفر، سختی نمونه‌ها به میزان ۷-۵٪ بهبود نشان می‌دهد (شکل ۴). در نمونه‌هایی که تحت عملیات زیر صفر عمیق قرار گرفته‌اند به دلیل حذف آستینیت باقی‌مانده، افزایش کاربیدها و توزیع یکنواخت‌تر آن‌ها، سختی و مقاومت سایشی در مقایسه با نمونه‌های عملیات حرارتی مرسوم، افزایش می‌یابد (شکل‌های ۴ و ۵). در نمونه ۸۰-۲۰ DCT مقاومت سایشی و سختی به دلیل انحلال کاربیدها و کاهش دمای شروع استحاله مارتزیتی در مقایسه با نمونه ۲۰-۸۰ DCT کاهش می‌یابد (شکل‌های ۴ و ۵).

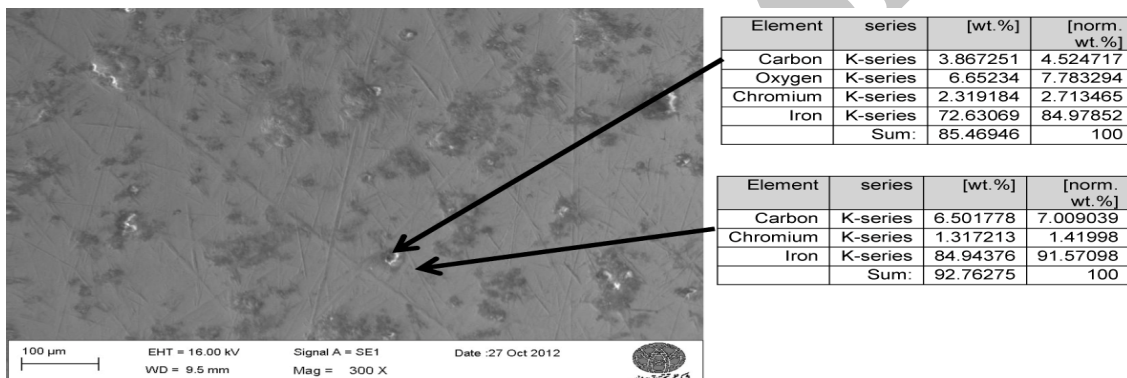
شکل (۳): تصویر میکروسکوب الکترونی روبشی از توزیع کاربید کرم در نمونه فولادی آستینیته شده در دمای ۸۵۰ °C (الف) نمونه ۸۰-۲۰ CHT80، (ب) نمونه ۲۰-۸۰ DCT20، (پ) نمونه ۲۰-۸۰ CHT80، (ت) نمونه ۸۰-۲۰ DCT20، (ث) EDX رسوب.



شکل (۴): سختی نمونه‌های فولادی.



شکل (۵): مقاومت سایشی نمونه‌های فولادی در سرعت‌های مختلف سایش $0/0.05$ و $0/0.1$ و $0/0.15$ متر بر ثانیه و نیروی اعمالی 220 نیوتون.



شکل (۶): سطح سایش و آنالیز EDS تهیه شده از نمونه 20 در نیروی 220 نیوتون و مسافت سایش 1000 متر

دقیقه، نمونه نگهداری شده در دمای 850°C به دلیل حضور فاز نرم فریت، مقاومت سایشی کمتر می‌باشد و در زمان 80 دقیقه در دمای 920°C ، کاربید بیشتری در ساختار حل شده و درصد کاربید نهایی در ساختار در این نمونه کمتر از نمونه 850°C می‌باشد. به همین دلیل مقاومت سایشی نمونه‌هایی که در دمای 850°C و زمان نگهداری 80 دقیقه آستینیت شده‌اند، بالاتر از سختی نمونه‌هایی است که در دمای 920°C آستینیت شده‌اند (شکل ۵). شکل (۵) نشان می‌دهد که با افزایش سرعت سایش، نرخ سایش افزایش می‌یابد. نرخ سایش در سرعت‌های بالاتر به دلیل نیروی بیشتر ایجاد شده بین سطوح سایش و حرارت تولیدی بیشتر در سطوح تماس، افزایش می‌یابد. برای تعیین مکانیزم سایش، سطح نمونه‌ها پس از سایش توسط

در نمونه‌هایی که در دمای 850°C آستینیت شده‌اند، رفتار سایشی متفاوت از نمونه‌هایی است که در دمای 920°C آستینیت شده‌اند. در نمونه‌هایی که در دمای 850°C و به مدت 20 دقیقه آستینیت شده‌اند، ساختار ناهمگن بوده و درصد کمی فریت نیز در ساختار مشاهده می‌شود. به دلیل حضور یک فاز نرم در ساختار، مقاومت سایشی به شکل محسوسی نسبت به سایر نمونه‌ها کاهش می‌یابد (شکل ۵). در زمان‌های طولانی تر آستینیت کردن، سختی افزایش می‌یابد زیرا ساختار کاملا آستینیت شده و در ساختار نهایی اثری از فریت مشاهده نمی‌شود. به همین دلیل مقاومت سایشی در دمای آستینیت 850°C در زمان نگهداری 80 دقیقه بالاتر از زمان نگهداری 20 دقیقه در هر دو نمونه زیر صفر عمیق شده و نشده می‌باشد. در مقایسه بین دماهای مختلف، در زمان نگهداری 20

باعث کاهش شدید سختی و مقاومت سایشی نمونه می‌شود. در زمان‌های طولانی تر (۸۰ دقیقه) ساختار همگن شده و فاز فریت از بین می‌رود. در نتیجه سختی افزایش یافته و مقاومت سایشی بهبود می‌یابد.

۵- بهبود رفتار سایشی و سختی در زمان کمتر نگهداری در دمای آستینیت بالا (920°C) و در زمان طولانی نگهداری در دمای آستینیت پایین (850°C ، برای حالت زیر صفر شده و نشده صادق است.

۶- مکانیزم غالب سایش در نمونه سایش خراشان می‌باشد که به دلیل دمای بالای موضعی در حین سایش، سایش تربیو شیمیایی نیز در سطوح مشاهده می‌گردد.

۵- تشکر و قدردانی

از معاونت محترم پژوهش و فناوری دانشگاه آزاد اسلامی واحد شهر مجلسی به جهت تأمین هزینه‌های این تحقیق در قالب طرح پژوهشی تقدیر و تشکر می‌گردد.

۶- مراجع:

- [1] D. Collins, "Deep Cryogenic Treatment of Tool Steels: a Review", Heat Treatment of Metals(UK), pp. 40-42, 1996.
- [2] F. J. Da Silva, S. D. Franco, Á. R. Machado, E. O. Ezugwu, A. M. Souza Jr, "Performance of Cryogenically Treated HSS tools", Wear, Vol. 4, pp. 674-685, 2006.
- [3] D. Das, R. Sarkar, A. K. Dutta, K. K. Ray, "Influence of Sub-Zero Treatments on Fracture Toughness of AISI D2 Steel", Materials Science and Engineering: A, pp. 589-603, 2010.
- [4] V. Bulancea, D. Condurache, D. A. Gheorghiu, "Frozen High Alloyed Steels", Annals of the University of Craiova, Electrical Engineering Series, pp. 342-345, 2008.
- [5] F. Cajner, V. Leskovšek, D. Landek, H. Cajner, "Effect of Deep-Cryogenic Treatment on High Speed Steel Properties", Materials and Manufacturing Processes, pp. 743-746, 2009.
- [6] D. Das, A. K. Dutta, K. K. Ray, "Influence of Varied Cryotreatment on the Wear Behavior of AISI D2 Steel", Wear, pp. 297-309, 2009.
- [7] D. Das, A. K. Dutta, K. K. Ray, "Sub-Zero Treatments of AISI D2 Steel: Part I. Microstructure and Hardness", Materials Science and Engineering: A, pp. 2182-2193, 2010.

میکروسکوپ الکترونی روپسی مورد بررسی قرار گرفت (شکل ۶). نتایج نشان می‌دهد که مکانیزم غالب سایش در نمونه‌ها، سایش خراشان می‌باشد. دلیل اصلی بهبود کاهش نرخ سایش در نمونه‌های زیر صفر شده، حذف آستینیت باقی‌مانده، افزایش درصد کاربیدهای آلیاژی و توزیع یکنواخت‌تر آن‌ها می‌باشد. نتایج بررسی‌های EDS نشان داد که در هر دو سطح پین و دیسک درصد بالایی از اکسیژن وجود دارد. این درصد بالا از اکسیژن نشان می‌دهد که علاوه بر مکانیزم خراشان، تربیو شیمیایی که عبارت است از اکسید شدن شدید سطح در حین سایش نیز اتفاق می‌افتد.

۴- نتیجه گیری

۱- نشان داده شد که عملیات زیر صفر باعث حذف آستینیت باقی‌مانده در نمونه‌های فولادی می‌گردد. هم‌چنین درصد کاربید کرم در اثر عملیات زیر صفر افزایش یافته و پراکندگی کاربیدهای کرم یکنواخت‌تر گردید.

۲- عملیات زیر صفر باعث بهبود سختی به میزان ۷۵-۷٪ در مقیاس ویکرز گردید. هم‌چنین مقاومت سایشی در نمونه‌های زیر صفر شده به میزان ۴۵-۷۰٪ افزایش یافت.

۳- با افزایش زمان نگهداری نمونه‌ها در دمای آستینیت و در دمای 920°C سختی و درصد کاربیدها کاهش می‌یابد. هم‌چنین مقاومت سایشی تضعیف شده و کاربیدها پراکندگی غیریکنواخت‌تری از خود نشان می‌دهند. در اثر افزایش زمان نگهداری نمونه‌ها در دمای آستینیت 920°C ، دانه‌ها بزرگ شده و از اعوجاج شبکه مارتزیت کاسته می‌شود. هم‌چنین درصد آستینیت باقی‌مانده در نمونه‌هایی که به مدت ۸۰ دقیقه در دمای 920°C نگهداری شده‌اند، بیشتر از نمونه‌هایی است که در همان دما و برای مدت ۲۰ دقیقه نگهداری شده‌اند.

۴- با تغییر زمان نگهداری نمونه‌ها در دمای آستینیت و در دمای 850°C رفتار متفاوتی مشاهده می‌شود. در زمان‌های کم (۲۰ دقیقه) به دلیل عدم همگن شدن ساختار به دلیل دمای کم آستینیت، مقداری فریت در ساختار مشاهده می‌شود. این فریت

- [19] D. Das, A. K. Dutta, K. K. Ray, "Sub-Zero Treatments of AISI D2 Steel: Part II. Wear Behavior", Materials Science and Engineering: A, pp. 2194-2206, 2010.
- [20] D. Das, K. K. Ray, "Structure-Property Correlation of Sub-Zero Treated AISI D2 Steel", Materials Science and Engineering: A, pp. 45-60, 2012.
- [21] A. Bensely, S. Venkatesh, D. Mohan Lal, G. Nagarajan, A. Rajadurai, K. Junik, "Effect of Cryogenic Treatment on Distribution of Residual Stress in Case Carburized En 353 steel", Materials Science and Engineering: A, pp. 229-235, 2008.
- [22] E. Darmiani, I. Danaee, M. A. Golozar, M. R. Toroghinejad, "Corrosion Investigation of Al-SiC Nano-Composite Fabricated by Accumulative Roll Bonding (ARB) Process", Journal of Alloys and Compounds, pp. 31-39, 2013.
- [23] J. D. Darwin, D. Mohan Lal, G. Nagarajan, "Optimization of Cryogenic Treatment to Maximize the Wear Resistance of 18% Cr Martensitic Stainless Steel by Taguchi Method", Journal of Materials Processing Technology, pp. 241-247, 2008.

۶- پی‌نوشت

- 1- Shallow Cryogenic treatment
- 2- Deep cryogenic treatment
- 3- Unit cell
- 4- Das

- [8] D. Das, K. K. Ray, A. K. Dutta, "Influence of Temperature of Sub-Zero Treatments on the Wear Behaviour of Die Steel", Wear, pp. 1361-1370, 2009.
- [9] A. Akhbarizadeh, A. Shafyei ,M. A. Golozar, "Effects of Cryogenic Treatment on Wear Behavior of D6 Tool Steel", Materials & Design, pp. 3259-3264, 2009.
- [10] A. Akhbarizadeh, S. Javadpour, "Investigating the Effect of As-Quenched Vacancies in the Final Microstructure of 1.2080 Tool Steel During the Deep Cryogenic Heat Treatment", Materials Letters, pp. 247-250, 2013.
- [11] A. Akhbarizadeh, S. Javadpour, K. Amini, "Investigating the Effect of Electric Current Flow on the Wear Behavior of 1.2080 Tool Steel During the Deep Cryogenic Heat Treatment", Materials & Design, pp. 103-109, 2013.
- [12] K. Amini, A. Akhbarizadeh, S. Javadpour, "Investigating the Effect of the Quench Environment on the Final Microstructure and Wear Behavior of 1.2080 Tool Steel After Deep Cryogenic Heat Treatment", Materials & Design, pp. 316-322, 2013.
- [13] R. F. Barron, "Cryogenic Treatment of Metals To Improve Wear Resistance", Cryogenics, pp. 409-413, 1982.
- [14] L. X. Dong Yun, X|Ao Hongshen, "Deep Cryogenic Treatment of High-Speed Steel and its Mechanism", HEAT TREATMENT OF METALS, pp. 55-59, 1983.
- [15] A. Bensely, A. Prabhakaran, D. Mohan Lal, G. Nagarajan, "Enhancing the Wear Resistance of Case Carburized Steel (En 353) by Cryogenic Treatment", Cryogenics, pp. 747-754, 2005.
- [16] A. Bensely, D. Senthilkumar, D. Mohan Lal, G. Nagarajan, A. Rajadurai, "Effect of Cryogenic Treatment on Tensile Behavior of Case Carburized Steel-815M17", Materials Characterization, pp. 485-491, 2007.
- [17] W. D. Cao, X. P. Lu, A. F. Sprecher, H. Conrad, "Increased Hardenability of Steel by an External Electric Field", Materials Letters, pp. 193-197, 1990.
- [18] D. Das, A. K. Dutta, K. K. Ray, "Optimization of the Duration of Cryogenic Processing to Maximize Wear Resistance of AISI D2 Steel", Cryogenics, pp. 176-184, 2009.